

## **CAMPO DE VELOCIDADE E TEMPERATURA EM MEIO HÍBRIDO FORMADO POR REGIÕES LIMPA E POROSA**

**Francisco D. Rocamora Jr.**

Depto. de Energia Nuclear, Instituto de Estudos Avançados - IEAv/CTA  
12231-970, São José dos Campos, SP, Brasil

**Marcelo J.S. de Lemos**

Depto. de Energia - IEME, Instituto Tecnológico de Aeronáutica - ITA  
12228-900, São José dos Campos, SP, Brasil. E-mail: [delemos@mec.ita.br](mailto:delemos@mec.ita.br)

### **Resumo**

Neste trabalho são apresentados alguns resultados numéricos para problemas de escoamento e transferência de calor em meios híbridos (meio limpo/meio poroso). Todos os casos apresentados são para escoamento laminar e é considerada a hipótese de equilíbrio térmico entre a matriz porosa e o fluido. Resultados para escoamentos entre placas paralelas e dutos parcialmente preenchidos com um meio poroso são mostrados na forma de perfis de velocidade e temperatura. É feita uma análise da influência de vários parâmetros do escoamento e do meio poroso sobre os resultados obtidos.

**Palavras-chave:** meios porosos, transferência de calor, métodos numéricos.

### **1. INTRODUÇÃO**

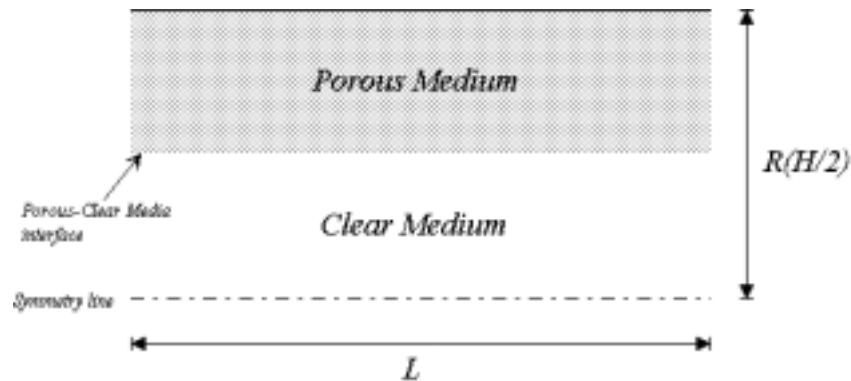
Meios porosos têm sido extensivamente estudados ultimamente, principalmente devido a sua grande aplicação tanto na indústria como na ciência. Estudos de contaminação de solo, combustão em matrizes porosas, recuperação de poços de petróleo e filtragem são apenas alguns exemplos de aplicação desta área.

Recentes trabalhos encontrados na literatura podem ser classificados basicamente em dois tipos : *a*) tratamento microscópico onde o meio poroso é modelado como um arranjo infinito de células unitárias e as equações do escoamento são resolvidas para uma célula, com condições de contorno periódicas, visando a obtenção de parâmetros integrais do escoamento, e *b*) tratamento macroscópico onde as propriedades de interesse são obtidas através da integração das mesmas num volume elementar representativo (*REV*), fornecendo, assim, as equações do escoamento para as variáveis médias superficiais. Exemplos do primeiro tipo podem ser encontrados em Kuwahara *et al.* (1998), Rocamora e de Lemos (1998), etc., enquanto que do segundo tipo podemos mencionar Pedras e de Lemos (1998), Anthohe e Lage (1997), entre outros.

Neste trabalho o tratamento macroscópico é utilizado na obtenção de soluções numéricas em regime permanente para um domínio híbrido, *i.e.*, meio poroso-meio limpo, para escoamentos laminares em dutos e entre placas planas preenchidas parcialmente com um meio

poroso homogêneo. Alguns trabalhos são encontrados na literatura que tratam do problema da interface entre um meio poroso e um meio limpo, como Vafai e Tien (1981) e Ochoa-Tapia e Whitaker (1995), entre outros. O modelo utilizado para o tratamento da interface segue o proposto por Ochoa-Tapia e Whitaker (1995) sem considerar ‘saltos’ na tensão na interface meio limpo-meio poroso. Na equação da energia é considerada a condição de equilíbrio térmico entre o fluido e a matriz porosa.

Um esboço da geometria considerada é mostrado na Figura 1, onde  $R$  é o raio no caso de dutos e  $H$  é a distância entre placas paralelas.



**Figura 1** - Geometria do problema

## 2. MODELAGEM MATEMÁTICA

### 2.1 Equações de Transporte e Constitutivas

A média intrínseca de uma propriedade do fluido  $\phi$  num volume elementar representativo (*REV*) do meio poroso é definida como:

$$\langle \phi \rangle^f = \frac{1}{V_f} \int_{V_f} \phi \, dV \quad (1)$$

Assim, a média superficial de  $\phi$  no “*REV*” é dada por :

$$\langle \phi \rangle^v = \frac{1}{V} \int_V \phi \, dV = \phi \langle \phi \rangle^f \quad (2)$$

onde  $\phi = V_f / V$ ,  $V$  é o volume do “*REV*” e  $V_f$  é o volume do fluido contido em  $V$  (meio poroso homogêneo saturado).

As equações de transporte para meios porosos, em termos da velocidade média superficial (velocidade de Darcy ou *seepage velocity*),  $\vec{u}_D$ , em regime permanente, podem ser escritas como :

a) Equação da Continuidade

$$\text{div}(\rho \vec{u}_D) = 0 \quad (3)$$

b) Equações de Momentum

$$\text{div}\left(\rho \frac{\vec{u}_D U_{D_i}}{\phi} - \vec{t}_i\right) = s_{u_i} \quad (4)$$

c) Equação da Energia

$$\text{div}\left(\rho \vec{u}_D T - \frac{k_{eff}}{c_{pf}} \text{grad}(T)\right) = s_T \quad (5)$$

Nas equações acima  $U_{D_i}$  é a componente da velocidade média superficial na direção  $i$ ,  $\phi$  é a porosidade do meio,  $s_{u_i}$  representa todos os termos fonte na direção  $i$  para a equação de momentum, incluindo o gradiente de pressão e os termos de Darcy-Forchheimer,  $T$  é a temperatura média superficial,  $c_{pf}$  é o calor específico do fluido,  $k_{eff}$  é a condutividade térmica efetiva do fluido e da matriz porosa e  $s_T$  representa os termos fonte para a equação da energia. O termo  $\vec{t}_i$  é expresso por :

$$\vec{t}_i = \tau_{ij} \vec{t}_j \quad (6)$$

e  $\tau_{ij}$  e  $s_{u_i}$  são dados por :

$$\tau_{ij} = \mu \left( \frac{\partial U_{D_i}}{\partial x_j} + \frac{\partial U_{D_j}}{\partial x_i} \right) \quad (7)$$

$$s_{u_i} = - \left( \frac{\partial \phi P^f}{\partial x_i} + \frac{\phi \mu}{K} U_{D_i} + \frac{\phi \rho c_F |\vec{u}_D|}{\sqrt{K}} U_{D_i} \right) \quad (8)$$

onde  $K$  é a permeabilidade do meio,  $c_F$  é o coeficiente de Forchheimer (*form-drag coefficient*) e  $P^f$  é a pressão média intrínseca do fluido num meio poroso saturado.

Na Eq. (5) o fluido e a matriz porosa são considerados em equilíbrio térmico. Para os casos considerados, a condutividade efetiva,  $k_{eff}$ , é calculada como :

$$k_{eff} = k_f \phi + k_s (1 - \phi) \quad (9)$$

onde  $k_f$  e  $k_s$  são as condutividades térmicas do fluido e da matriz porosa (sólido), respectivamente.

Vale notar que para o meio limpo, i.e., sem matriz porosa, as equações do escoamento são as mesmas com  $\phi=1$ , apenas removendo os termos de Darcy-Forchheimer da Eq. (8) e fazendo  $\vec{u}_D = \vec{u}$ , onde  $\vec{u}$  é a velocidade do fluido no meio limpo. O tratamento da interface

entre o meio poroso e o meio limpo (fluido) merece um pouco mais de atenção. A condição de continuidade da velocidade média superficial e da pressão média intrínseca na interface, *i.e.*,  $\vec{u}_{D, fluido} = \vec{u}_{D, meio poroso}$ ,  $P^f_{fluido} = P^f_{meio poroso}$ , requerem um tratamento diferenciado para as faces dos volumes de controle que fazem parte da interface.

A componente tangencial da condição de ‘salto’ na interface dada por Ochoa-Tapia e Whitaker (1995) pode ser expressa como :

$$\frac{1}{\phi} \frac{\partial U_{D//}}{\partial n} \Big|_{meio poroso} - \frac{\partial U_{D//}}{\partial n} \Big|_{meio lim po} = \frac{\beta}{\sqrt{K}} U_{D//, meio poroso} \quad (10)$$

onde  $U_{D//}$  representa a componente da velocidade média superficial paralela à interface,  $n$  é a coordenada normal à interface indo do meio poroso para o meio limpo e  $\beta$  é uma constante que define a intensidade do ‘salto de tensão’ na interface. Para os casos tratados neste trabalho o parâmetro  $\beta$  foi considerado nulo, *i.e.*,  $\beta=0$ , de modo que na interface temos as seguintes relações para a velocidade média superficial :

$$\frac{1}{\phi} \frac{\partial U_{D//}}{\partial n} \Big|_{meio poroso} - \frac{\partial U_{D//}}{\partial n} \Big|_{meio lim po} = 0 \quad (11)$$

$$\vec{u}_{D, meio poroso} = \vec{u}_{D, meio lim po} \quad (12)$$

A outra condição que deve ser observada é a da continuidade da pressão intrínseca do fluido na interface, expressa por :

$$P^f_{meio poroso} = P^f_{meio lim po} \quad (13)$$

Para a equação da energia, Eq.(5), não há necessidade de nenhuma condição especial na interface, uma vez que, para a hipótese de equilíbrio térmico, a continuidade da temperatura e do fluxo de calor são automaticamente satisfeitas na interface.

## 2.2 Método Numérico

O método numérico utilizado na resolução das equações acima é baseado na técnica de Volumes Finitos e no procedimento *SIMPLE* de Patankar (1980) para escoamentos incompressíveis. A interface é posicionada de modo a coincidir com a fronteira entre dois volumes de controle, gerando apenas volumes de controle do tipo ‘poroso’ ou ‘limpo’. As equações do escoamento são então resolvidas nas regiões porosa e limpa, respeitando as condições (11)-(13) na interface.

## 3. CASOS CONSIDERADOS

O modelo acima descrito foi utilizado na solução de alguns problemas envolvendo domínios híbridos, tais como escoamentos entre placas e em dutos parcialmente preenchidos com meios porosos. Foram investigados alguns parâmetros como por exemplo razão entre condutividades térmicas do sólido e do fluido ( $k_s/k_f$ ), número de Reynolds ( $Re$ ) e permeabilidade da matriz porosa ( $K$ ). Os resultados são apresentados nas figuras 2 a 7 e a Tabela 1 mostra os valores dos parâmetros utilizados nos diversos casos.

Para todos os casos estudados os seguintes parâmetros foram mantidos fixos: temperatura de entrada do fluido,  $T_{in}=50^{\circ}\text{C}$ ; temperatura da parede,  $T_w=100^{\circ}\text{C}$ ; porosidade,  $\phi=0.5$ ; raio do duto,  $R=0.01\text{m}$ , ou distância entre placas,  $H=0.02\text{m}$ ; espessura da camada porosa,  $s=R/2(H/4)$ . Apenas para o caso *i* foi utilizado  $c_F=0$ . Para os demais casos  $c_F=0.55$  foi utilizado. O fluido utilizado foi o ar.

**Tabela 1** – Parâmetros utilizados nos diversos casos.

Caso	$U_{in}(\text{m/s})$	$L/D$	$k_s/k_f$	$K(\text{m}^2)$	Geom.
<i>i</i>	0.10	20.	1.0	$1.0 \cdot 10^{-6}$	P.P.
<i>ii</i>	0.10	10.	--	$1.0 \cdot 10^{-6}$	Duto
<i>iii</i>	0.10	--	2.0	$1.0 \cdot 10^{-6}$	Duto
<i>iv</i>	--	10.	2.0	$1.0 \cdot 10^{-6}$	Duto
<i>v</i>	0.10	10.	1.0	--	Duto

*i*) Perfil de velocidade para um escoamento completamente desenvolvido entre placas paralelas.

Este caso foi utilizado como um caso teste para a validação do cálculo hidrodinâmico. Na Figura 2 são mostrados o perfil de velocidade obtido numericamente e o analítico obtido por Kuznetsov (1996). Como pode ser observado, o perfil obtido numericamente apresenta boa concordância com o perfil analítico, indicando a correta aplicação das condições na interface para o caso em que o ‘salto de tensão’ na interface é considerado nulo, *i.e.*,  $\beta=0$ . Para este caso a velocidade adimensional  $U$  mostrada na Figura 2 é dada por:

$$U = \frac{\mu u}{G H^2}, \text{ onde } G = -\frac{d P^f}{d x} \text{ é o gradiente de pressão na direção do escoamento.}$$

Para os casos seguintes a velocidade é adimensionalizada em relação ao maior valor do módulo da velocidade no escoamento.

*ii*) Efeito da razão  $k_s/k_f$  no perfil de temperatura em  $L/D=10$  para escoamento em um duto.

Os perfis de temperatura mostrados na Figura 3, embora não disponhamos de resultados analíticos ou numéricos para comparação, exibem um comportamento bastante coerente com o esperado quando se aumenta a razão entre as condutividades térmicas da matriz porosa e do fluido.

*iii*) Perfis de Temperatura ao longo do duto.

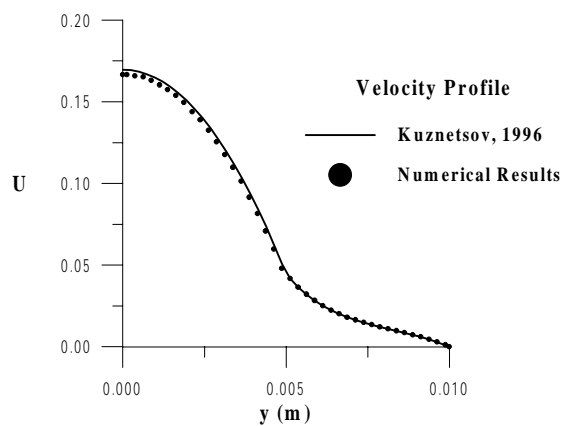
A Figura 5 mostra o desenvolvimento do perfil de temperatura ao longo do duto. Pode-se observar a influência do desenvolvimento do campo de velocidade, principalmente para  $L/D=1$ , no perfil de temperatura na região porosa.

*iv*) Efeito da velocidade de entrada,  $U_{in}$ , no perfil de temperatura em  $L/D=10$  para escoamento em um duto.

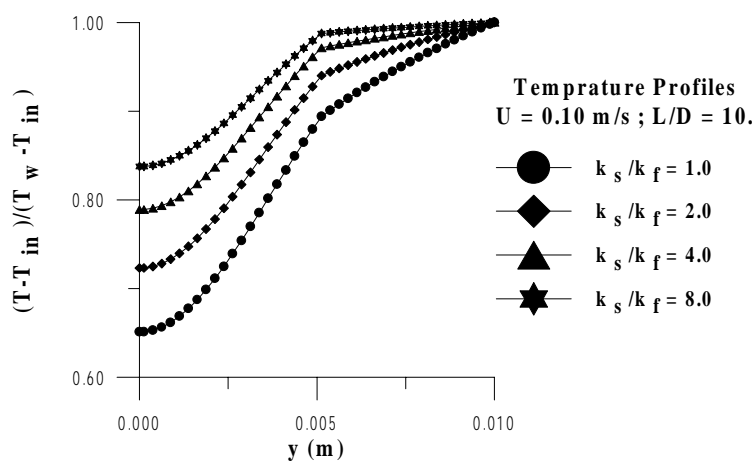
Como esperado, a Figura 4 mostra que o aumento da velocidade de entrada provoca um decréscimo na temperatura de saída do duto.

v) Efeito da permeabilidade,  $K$ , nos perfis de Velocidade e Temperatura em  $L/D=10$  para escoamento em um duto.

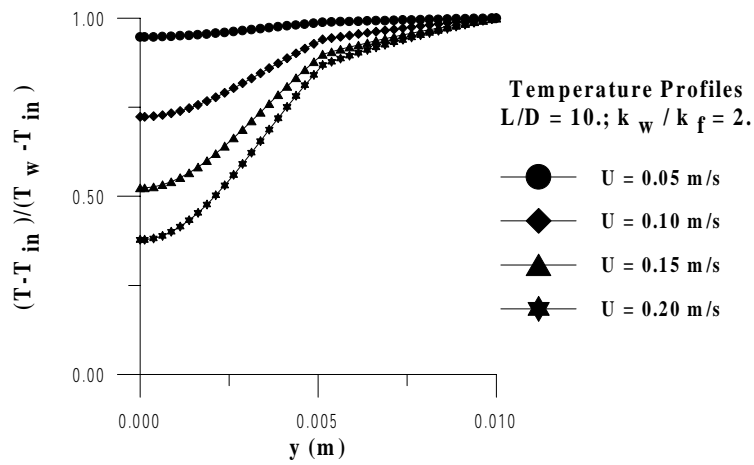
As Figuras 6 e 7 mostram a influência da permeabilidade da matriz porosa,  $K$ , nos perfis de velocidade e temperatura para  $L/D=10$ . Como pode ser observado, embora o perfil de velocidade seja afetado variando-se a permeabilidade, o perfil de temperatura apresenta mudanças bem menos expressivas na região porosa. Por outro lado, na região limpa nota-se uma influência maior da velocidade.



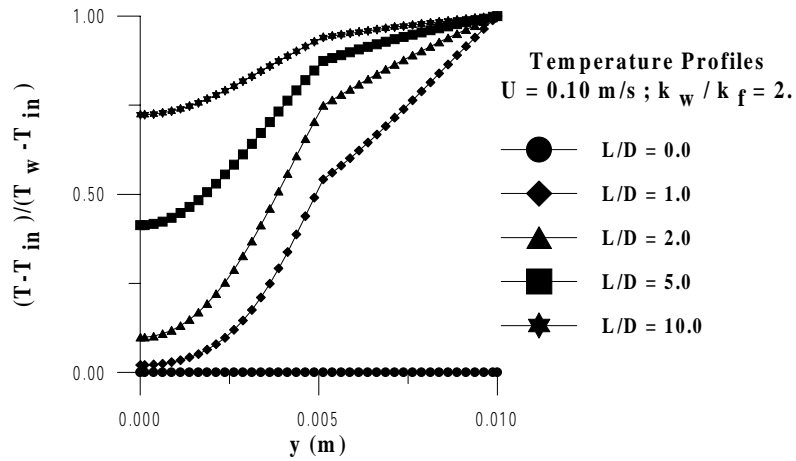
**Figura 2** - Perfil de Velocidade para o caso *i*



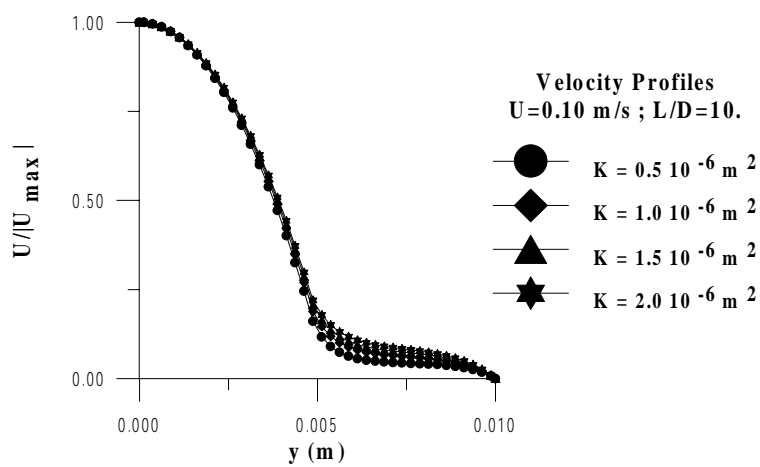
**Figura 3** - Perfis de Temperatura para o caso *ii*



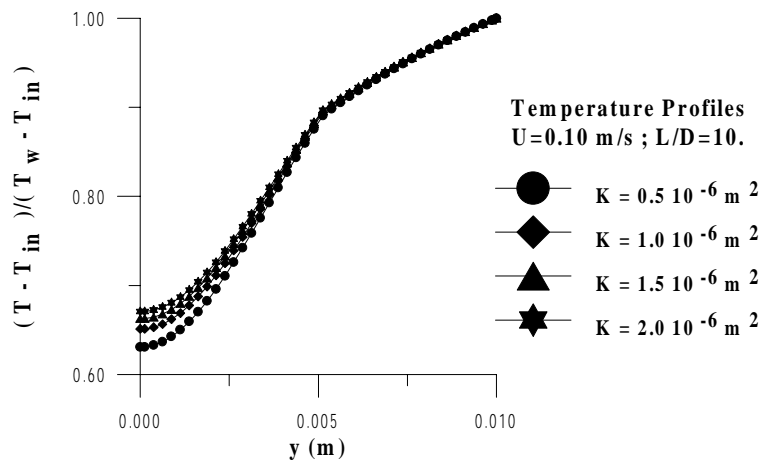
**Figura 4** - Perfis de Temperatura para o caso *iv*



**Figura 5** - Perfis de Temperatura para o caso *iii*



**Figura 6** - Perfis de Velocidade para o caso *v*



**Figura 7** - Perfis de Temperatura para o caso  $v$

#### 4. CONCLUSÕES

Neste trabalho foram apresentados resultados numéricos para escoamentos laminares em domínios híbridos com transferência de calor os quais envolvem interface entre a matriz porosa e o meio limpo. O método numérico utilizado possibilita o tratamento do meio poroso e do meio limpo em um único domínio de cálculo, respeitadas as condições de contorno na interface. Vários parâmetros de interesse foram analisados e os resultados apresentados mostraram-se bastante coerentes com o esperado.

#### 5. AGRADECIMENTOS

Os autores desejam expressar seu agradecimento a Marcos H. J. Pedras pela sua inestimável colaboração no desenvolvimento deste trabalho.

#### 6. REFERÊNCIAS BIBLIOGRÁFICAS

Antohe, B. V. ;Lage, J. L., 1997, “A general two-equation macroscopic turbulence model for incompressible flow in porous media”, *Int. J. Heat Mass Transfer*, vol. 40, pp. 3013-3024.

Kuwahara, F., Kameyama, Y., Yamashita, S., e Nakayama, A., 1998, “Numerical Modeling of Turbulent Flow in Porous Media Using a Spatially Periodic Array”, *J. Porous Media*, vol. 1, pp. 47-55.

Kuznetsov, A. V., 1996, “Analytical investigation of the fluid flow in the interface region between a porous medium and a clear fluid in channels partially filled with a porous medium”, *Applied Scientific Research*, vol. 56, pp. 53-67.

Ochoa-Tapia, J. A.; Whitaker, S., 1995, “Momentum transfer at the boundary between a porous medium and a homogeneous fluid-I. Theoretical development.”, *Int. J. Heat Mass Transfer*, vol. 38, pp. 2635-2646.

Patankar, S.V., 1980, NUMERICAL HEAT TRANSFER AND FLUID FLOW, Mc-Graw Hill.



Pedras, M.H.J.; de Lemos, M.J.S., 1998, "Resultados da Modelagem da Turbulência Macroscópica em Meios Porosos", *ENCIT98- Proc. of 7th Braz. Cong. Eng. Th. Sci.*, vol. 2, pp. 1272-1277, Rio de Janeiro, RJ, Nov. 3-6.

Rocamora, F. D. Jr., de Lemos, M. J. S., 1998, "Numerical Solution of Turbulent Flow in Porous Media using a Spatially Periodic Array and the  $K-\varepsilon$  Model", *ENCIT-98 - Proc. of 7th Braz. Cong. Eng. Th. Sci.*, vol. 2, pp. 1265-1271.

Vafai, K., Tien, C. L., 1981, "Boundary and Inertia Effects on Flow and Heat Transfer in Porous Media", *Int. J. Heat Mass Transfer*, vol. 24, pp. 195-203.

## **ABSTRACT**

*This work presents some numerical results for steady-state flow and heat transfer problems in a hybrid medium (clean fluid/porous medium). All the cases presented are for laminar flow and the thermal equilibrium hypothesis is considered. Flows between parallel plates and ducts partially filled with a porous medium are shown and commented upon.*